УДК 519.62

doi 10.26089/NumMet.v16r102

О ПРИМЕНЕНИИ КОНЕЧНО-РАЗНОСТНЫХ СХЕМ ТИПА ПРЕДИКТОР-КОРРЕКТОР В МЕТОДЕ РЕШЕТОЧНЫХ УРАВНЕНИЙ БОЛЬЦМАНА

 Γ . В. Кривовичев¹, Е. В. Воскобойникова²

Построены конечно-разностные решеточные схемы Больцмана типа предиктор—корректор. Рассмотрены подход с раздельной аппроксимацией пространственных производных в конвективных членах кинетических уравнений и подход, когда эти члены заменяются одной конечной разностью. На обоих этапах процесса вычислений на одном шаге используются явные разностные схемы. При решении задачи о течении в каверне и задачи о вихрях Тейлора в широком диапазоне изменения числа Рейнольдса показано, что построенные схемы позволяют проводить расчеты с большим значением шага по времени, чем некоторые другие известные схемы.

Ключевые слова: метод решеточных уравнений Больцмана, кинетические уравнения, предиктор-корректор, задача о течении в каверне, вихри Тейлора.

1. Введение. В последние два десятилетия метод решеточных уравнений Больцмана (lattice Boltzmann method, далее метод LBM) широко используется при моделировании течений жидкости и газа [1–6]. Особенно успешно метод применяется в задачах о моделировании течений многофазных сред [7–10], течений в пористых средах [11] и течений со свободными поверхностями [12]. Популярность метода во многом связана с широкими возможностями для распараллеливания его алгоритма [13–16] и удобством его практической реализации на многопроцессорных системах с графическими процессорами [13, 15–17].

Метод LBM является альтернативой подходам, основанным на дискретизации уравнений гидродинамики. Ключевая особенность метода заключается в том, что для моделирования течений используется система разностных кинетических уравнений, носящих название решеточных уравнений Больцмана (lattice Boltzmann equations, LBE).

Недостатком метода LBM является следующее обстоятельство: число Куранта для LBE-уравнений постоянно и равно единице, а это задает жесткую связь значений шагов по времени и пространственным переменным, что влияет на устойчивость метода [1]. Для возможности варьирования числа Куранта в литературе предложены конечно-разностные решеточные схемы Больцмана (finite-difference-based lattice Boltzmann schemes) [18–20]. Кроме того, эти схемы позволяют использовать неравномерные и адаптивные сетки.

В настоящей статье продолжены исследования, начатые в [21–23]. Рассматриваются двухслойные конечно-разностные схемы типа предиктор-корректор. При решении тестовых задач сравниваются схемы с различными подходами к аппроксимации конвективных членов в системе кинетических уравнений. Показано, что схемы с единой аппроксимацией конвективных членов позволяют выполнять расчеты с большим шагом по времени.

2. Конечно-разностные решеточные схемы Больцмана типа предиктор—корректор. В методе LBM движущаяся среда моделируется ансамблем псевдочастиц с заданными скоростями. Пространственная область, в которой происходит течение, разбивается структурированной сеткой, что задает в ней так называемую решетку (lattice). За шаг по времени δt псевдочастицы переходят между узлами решетки. Взаимодействие (абсолютно упругое соударение) может осуществляться только в узлах решетки.

В дальнейшем будет рассматриваться только случай плоского изотермического течения вязкой ньютоновской жидкости и решетка с ячейками квадратной формы, построенная с шагом l по обеим декартовым координатам. В этом случае удобно использовать набор скоростей D2Q9: $V_i = Vv_i$, $i = 1, \ldots, 9$, где

 $^{^1}$ Санкт-Петербургский государственный университет, факультет прикладной математики — процессов управления, Университетский просп., д. 35, 198504, г. Санкт-Петербург, Петергоф; доцент, e-mail: gera1983k@bk.ru

² Санкт-Петербургский государственный университет, факультет прикладной математики — процессов управления, Университетский просп., д. 35, 198504, г. Санкт-Петербург, Петергоф; студент, e-mail: elen.voskoboinikova@gmail.com

[©] Научно-исследовательский вычислительный центр МГУ им. М. В. Ломоносова

 $V = l/\delta t$, а \boldsymbol{v}_i задаются следующим образом:

$$egin{aligned} & m{v}_1 = (0,0), & m{v}_2 = (1,0), & m{v}_3 = (0,1), \ & m{v}_4 = (-1,0), & m{v}_5 = (0,-1), & m{v}_6 = (1,1), \ & m{v}_7 = (-1,1), & m{v}_8 = (-1,-1), & m{v}_9 = (1,-1). \end{aligned}$$

Система кинетических уравнений, описывающая динамику псевдочастиц на решетке, в безразмерных переменных имеет вид

$$\frac{\partial f_i}{\partial t} + \mathbf{v}_i \nabla f_i = -\frac{1}{\tau} \left(f_i - f_i^{\text{(eq)}} \right), \tag{1}$$

где t — безразмерное время (время, нормированное на δt); x и y — безразмерные пространственные переменные (декартовы координаты, нормированные на t); t — безразмерные функции распределения; t — функции, аппроксимирующие равновесные безразмерные функции распределения; t — безразмерное время релаксации. Система (1) получена посредством аппроксимации уравнения Больцмана с релаксационным столкновительным членом Бхатнагара—Гросса—Крука [24] в пространстве скоростей.

Рассмотрим построение схемы типа предиктор—корректор, основанной на раздельной аппроксимации производных по x и y. Для удобства перепишем систему (1) в векторной форме

$$\frac{\partial \mathbf{f}}{\partial t} + \frac{\partial \mathbf{F}(\mathbf{f})}{\partial x} + \frac{\partial \mathbf{G}(\mathbf{f})}{\partial y} = \mathbf{S}(\mathbf{f}),\tag{2}$$

где $\mathbf{f} = (f_1, \dots, f_9)^{\mathrm{T}}$; \mathbf{F} и \mathbf{G} — линейные векторные функции от \mathbf{f} : $F_i = v_{ix}f_i$ и $G_i = v_{iy}f_i$; \mathbf{S}_i — нелинейные векторные функции от \mathbf{f} (нелинейность возникает из-за соответствующей зависимости $f_i^{(\mathrm{eq})}$ от \mathbf{f} [1, 2]).

Рассмотрим равномерную сетку, построенную с шагом h по x и по y и с шагом Δt по t. Для построения схемы, реализующей этап предиктора, аппроксимируем все входящие в (2) производные в узле (t_n, r_{jk}) , где $r_{jk} = (x_i, y_k)$ с помощью правых разностных производных:

$$\frac{\partial \boldsymbol{f}(t_n, \boldsymbol{r}_{jk})}{\partial t} \approx \frac{\boldsymbol{f}_{jk}^{n+1} - \boldsymbol{f}_{jk}^n}{\Delta t}, \quad \frac{\partial \boldsymbol{F}(t_n, \boldsymbol{r}_{jk})}{\partial x} \approx \frac{\boldsymbol{F}_{j+1,k}^n - \boldsymbol{F}_{jk}^n}{h}, \quad \frac{\partial \boldsymbol{G}(t_n, \boldsymbol{r}_{jk})}{\partial y} \approx \frac{\boldsymbol{G}_{j,k+1}^n - \boldsymbol{G}_{jk}^n}{h}.$$

Соответствующая разностная схема примет вид

$$\boldsymbol{f}_{jk}^{n+1} = \boldsymbol{f}_{jk}^{n} - \frac{\Delta t}{h} \left(\boldsymbol{F}_{j+1,k}^{n} - \boldsymbol{F}_{jk}^{n} \right) - \frac{\Delta t}{h} \left(\boldsymbol{G}_{j,k+1}^{n} - \boldsymbol{G}_{jk}^{n} \right) + \Delta t \boldsymbol{S} \left(\boldsymbol{f}_{jk}^{n} \right). \tag{3}$$

Полученное по (3) решение будем обозначать через $\tilde{\boldsymbol{f}}_{jk}^n$ и рассматривать как предварительное, требующее дальнейшей коррекции.

Для получения схемы, реализующей этап корректора, аппроксимируем в узле $(t_{n+1/2}, r_{jk})$ производную по t тоже с помощью правой разностной производной, но с использованием полуцелого шага $\Delta t/2$:

$$\frac{\partial \boldsymbol{f}(t_{n+1/2}, \boldsymbol{r}_{jk})}{\partial t} \approx \frac{\boldsymbol{f}_{jk}^{n+1} - \boldsymbol{f}_{jk}^{n+1/2}}{\Delta t/2}.$$

Производные по пространственным координатам аппроксимируем с помощью левых разностных производных:

$$\frac{\partial \boldsymbol{F}(t_{n+1/2}, \boldsymbol{r}_{jk})}{\partial x} \approx \frac{\boldsymbol{F}_{jk}^{n+1/2} - \boldsymbol{F}_{j-1k}^{n+1/2}}{h}, \quad \frac{\partial \boldsymbol{G}(t_{n+1/2}, \boldsymbol{r}_{jk})}{\partial u} \approx \frac{\boldsymbol{G}_{jk}^{n+1/2} - \boldsymbol{G}_{jk-1}^{n+1/2}}{h}.$$

Получим разностную схему

$$\boldsymbol{f}_{jk}^{n+1} = \boldsymbol{f}_{jk}^{n+1/2} - \frac{\Delta t}{2h} \left(\boldsymbol{F}_{jk}^{n+1/2} - \boldsymbol{F}_{j-1,k}^{n+1/2} \right) - \frac{\Delta t}{2h} \left(\boldsymbol{G}_{jk}^{n+1/2} - \boldsymbol{F}_{j,k-1}^{n+1/2} \right) + \frac{\Delta t}{2} \boldsymbol{S} \left(\boldsymbol{f}_{jk}^{n+1/2} \right), \tag{4}$$

на основе которой построим схему, реализуемую на этапе корректора. Для этого представим решение в узле $(t_{n+1/2}, r_{jk})$ следующим образом:

$$f_{jk}^{n+1/2} \approx \frac{1}{2} \left(f_{jk}^n + f_{jk}^{n+1} \right).$$
 (5)

Предположим, что верны следующие приближенные равенства:

$$F_{jk}^{n+1/2} \approx F_{jk}^{n+1}, \quad G_{jk}^{n+1/2} \approx G_{jk}^{n+1}, \quad S_{jk}^{n+1/2} \approx S_{jk}^{n+1}.$$
 (6)

Подставляя (5) и (6) в (4), получим схему без значений в узле $(t_{n+1/2}, r_{jk})$, которая уже будет неявной. Для того чтобы избежать использования неявных схем, полученное по (3) на этапе предиктора решение \tilde{f}_{jk}^{n+1} подставим в правую часть разностной схемы. В итоге получим схему, используемую на этапе корректора:

$$\boldsymbol{f}_{jk}^{n+1} = \frac{1}{2} \left(\boldsymbol{f}_{jk}^{n} + \widetilde{\boldsymbol{f}}_{jk}^{n} \right) - \frac{\Delta t}{2h} \left(\widetilde{\boldsymbol{F}}_{jk}^{n+1} - \widetilde{\boldsymbol{F}}_{j-1,k}^{n+1} \right) - \frac{\Delta t}{2h} \left(\widetilde{\boldsymbol{G}}_{jk}^{n+1} - \widetilde{\boldsymbol{G}}_{j,k-1}^{n+1} \right) + \frac{\Delta t}{2} \widetilde{\boldsymbol{S}}_{jk}^{n+1},$$

где
$$\widetilde{\pmb{F}} = \pmb{F}(\widetilde{\pmb{f}}), \ \widetilde{\pmb{G}} = \pmb{G}(\widetilde{\pmb{f}}), \ \widetilde{\pmb{S}} = \pmb{S}(\widetilde{\pmb{f}}).$$

Перепишем построенную схему в применении к системе (1). Этап предиктора:

$$\widetilde{f}_{i}(t_{n+1}, \boldsymbol{r}_{jk}) = f_{i}(t_{n}, \boldsymbol{r}_{jk}) - \frac{\Delta t}{h} v_{ix} \left(f_{i}(t_{n}, \boldsymbol{r}_{j+1k}) - f_{i}(t_{n}, \boldsymbol{r}_{jk}) \right) - \frac{\Delta t}{h} v_{iy} \left(f_{i}(t_{n}, \boldsymbol{r}_{jk+1}) - f_{i}(t_{n}, \boldsymbol{r}_{jk}) \right) - \frac{\Delta t}{\tau} \left(f_{i}(t_{n}, \boldsymbol{r}_{jk}) - f_{i}^{(eq)} \left(\boldsymbol{f}(t_{n}, \boldsymbol{r}_{jk}) \right) \right).$$
(7)

Этап корректора:

$$f_{i}(t_{n+1}, \boldsymbol{r}_{jk}) = \frac{1}{2} \left(f_{i}(t_{n}, \boldsymbol{r}_{jk}) + \widetilde{f}_{i}(t_{n+1}, \boldsymbol{r}_{jk}) \right) - \frac{\Delta t}{2h} v_{ix} \left(\widetilde{f}_{i}(t_{n+1}, \boldsymbol{r}_{jk}) - \widetilde{f}_{i}(t_{n+1}, \boldsymbol{r}_{j-1k}) \right) - \frac{\Delta t}{2h} v_{iy} \left(\widetilde{f}_{i}(t_{n+1}, \boldsymbol{r}_{jk}) - \widetilde{f}_{i}(t_{n+1}, \boldsymbol{r}_{jk-1}) \right) - \frac{\Delta t}{2\tau} \left(\widetilde{f}_{i}(t_{n+1}, \boldsymbol{r}_{jk}) - f_{i}^{(eq)} \left(\widetilde{\boldsymbol{f}}(t_{n+1}, \boldsymbol{r}_{jk}) \right) \right).$$

$$(8)$$

Построенную двухэтапную схему (7)–(8) в дальнейшем будем называть схемой ПК1.

В работах [19, 22, 23] представлены конечно-разностные схемы, основанные не на раздельной аппроксимации пространственных производных, как это было проделано выше, а посредством аппроксимации члена $v_i \nabla f_i$ с помощью одного разностного выражения. Рассмотрим схему типа предиктор-корректор, использующую следующие приближенные представления на этапах предиктора и корректора соответственно:

$$egin{aligned} oldsymbol{v}_i
abla f_i(t_n, oldsymbol{r}_{jk}) &pprox rac{1}{h} \left(f_i(t_n, oldsymbol{r}_{jk} + oldsymbol{v}_i h) - f_i(t_n, oldsymbol{r}_{jk})
ight), \ oldsymbol{v}_i
abla f_i(t_n, oldsymbol{r}_{jk}) &pprox rac{1}{h} \left(f_i(t_n, oldsymbol{r}_{jk}) - f_i(t_n, oldsymbol{r}_{jk} - oldsymbol{v}_i h)
ight). \end{aligned}$$

Все остальные действия при построении разностной схемы аналогичны тем, что проводились при построении схемы ПК1.

Таким образом, получим следующую двухэтапную схему, аппроксимирующую систему (1). Этап предиктора:

$$\widetilde{f}_i(t_{n+1}, \boldsymbol{r}_{jk}) = f_i(t_n, \boldsymbol{r}_{jk}) - \frac{\Delta t}{h} \left(f_i(t_n, \boldsymbol{r}_{jk} + \boldsymbol{v}_i h) - f_i(t_n, \boldsymbol{r}_{jk}) \right) - \frac{\Delta t}{\tau} \left(f_i(t_n, \boldsymbol{r}_{jk}) - f_i^{(eq)} \left(\boldsymbol{f}(t_n, \boldsymbol{r}_{jk}) \right) \right). \tag{9}$$

Этап корректора:

$$f_{i}(t_{n+1}, \boldsymbol{r}_{jk}) = \frac{1}{2} \left(f_{i}(t_{n}, \boldsymbol{r}_{jk}) + \widetilde{f}_{i}(t_{n+1}, \boldsymbol{r}_{jk}) \right) - \frac{\Delta t}{2h} \left(\widetilde{f}_{i}(t_{n+1}, \boldsymbol{r}_{jk}) - \widetilde{f}_{i}(t_{n+1}, \boldsymbol{r}_{jk} - \boldsymbol{v}_{i}h) \right) - \frac{\Delta t}{2\tau} \left(\widetilde{f}_{i}(t_{n+1}, \boldsymbol{r}_{jk}) - f_{i}^{(eq)} \left(\widetilde{\boldsymbol{f}}(t_{n+1}, \boldsymbol{r}_{jk}) \right) \right).$$

$$(10)$$

Разностную схему (9)–(10) в дальнейшем будем называть схемой ПК2.

Можно показать, что схемы ПК1 и ПК2 аппроксимируют систему (1) со вторым порядком по Δt и по h в сеточной норме C. С использованием метода Чепмена–Энскога [19] ранее было показано, что выражения для схемной вязкости схем ПК1 и ПК2 в точности совпадают с выражением для кинематической вязкости, получаемом при применении этого метода к системе (1).

Возможности применения построенных схем к решению практических задач продемонстрированы при решении двух известных тестовых задач вычислительной гидродинамики — задачи о течении в каверне и задачи о вихрях Тейлора.

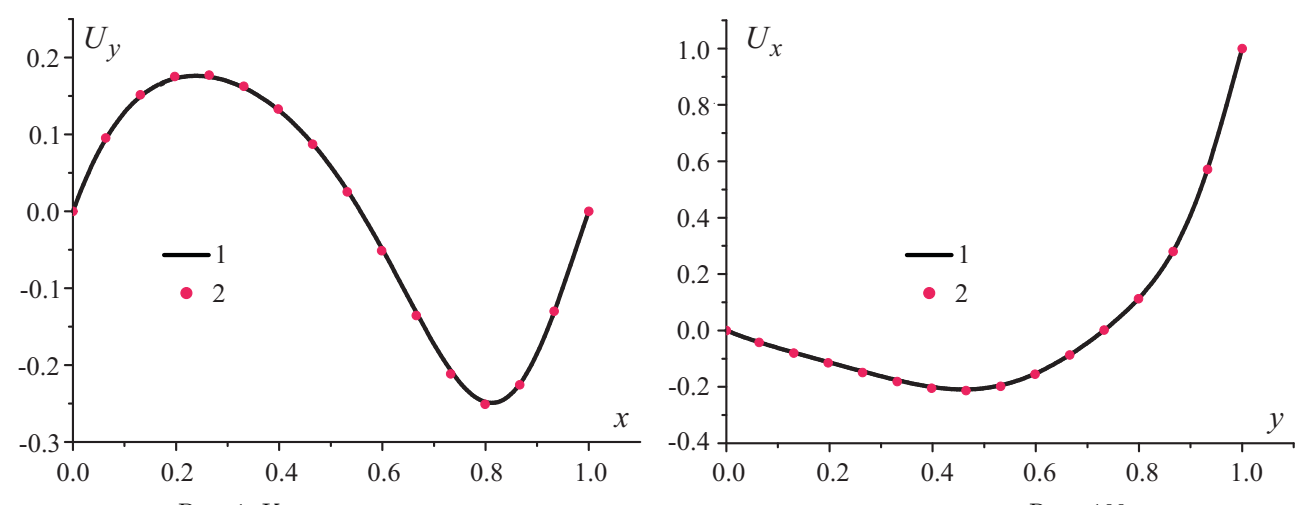


Рис. 1. Компоненты вектора скорости для задачи о течении в каверне при Re = 100:

1) результаты расчета по схеме ПК2; 2) результаты из [26]

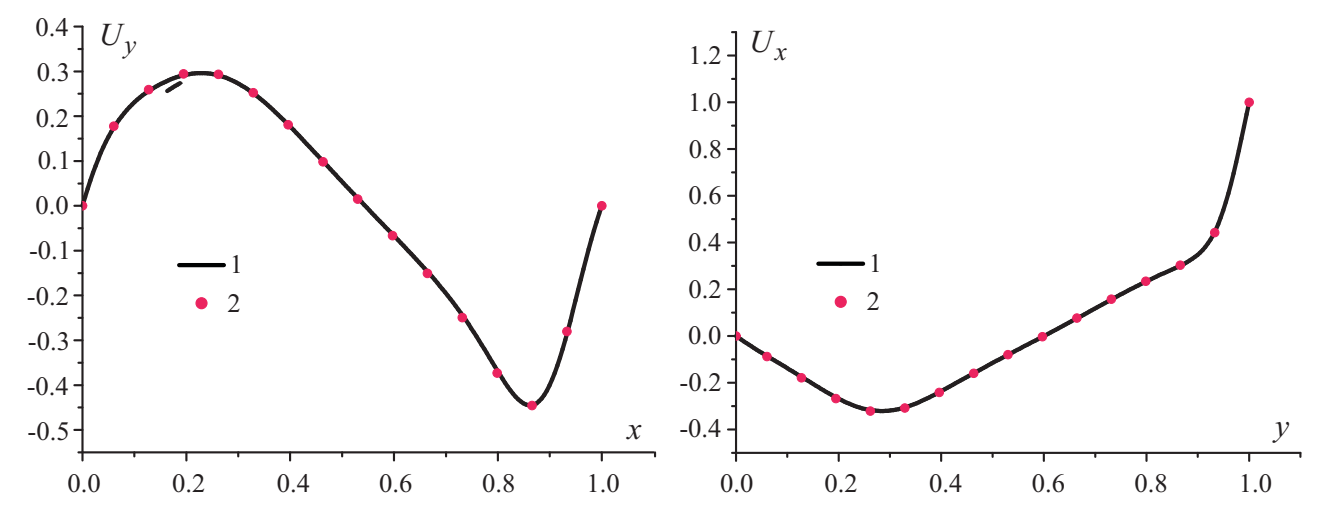


Рис. 2. Компоненты вектора скорости для задачи о течении в каверне при Re=400:
1) результаты расчета по схеме $\Pi K2$; 2) результаты из [26]

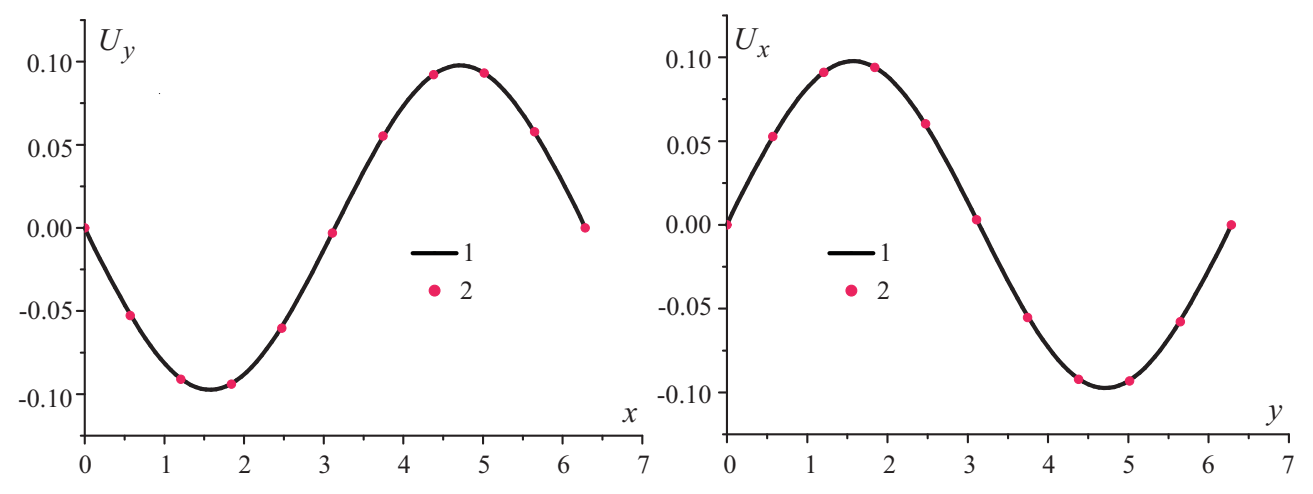


Рис. 3. Компоненты вектора скорости для задачи о вихрях Тейлора при Re = 100:
1) результаты расчета по схеме $\Pi K2$; 2) значения аналитического решения

3. Решение тестовых задач. При проведении численных расчетов проводилось сравнение схем ПК1 и ПК2 друг с другом, а также с двухслойными схемами с направленными разностями первого и второго порядков с раздельной аппроксимацией пространственных производных, исследованных в [21].

Эти схемы в дальнейшем будем называть схемами HP1 и HP2 соответственно. Для задания граничных условий первого рода на компоненты вектора скорости среды u использовался подход, предложенный в [25]. Для проведения расчетов были написаны программы на языке C++. Для расчетов в реализованных программах использовались числа двойной точности.

Сравнение схем проводилось с использованием значения параметра Куранта $\gamma = V \Delta t/h$ (в безразмерных переменных V имеет единичное значение). При сравнении схем по значению параметра Куранта при разных значениях числа Рейнольдса Re подбиралось наибольшее значение γ , при которых не развивались численные неустойчивости. Расчеты проводились при следующих значениях Re: 50, 100, 200, 300, 400. При фиксированном Re схему можно считать тем экономичнее, чем больше значение γ , поскольку для расчетов можно использовать больший шаг по времени.

 $\label{eq: Taблица 1} \mbox{Значение } \gamma \mbox{ при различных Re для } \mbox{ задачи о течении в каверне}$

Ī	Re	ПК2	ПК1	HP1	HP2
	50	0.514	0.442	0.398	0.221
	100	0.423	0.415	0.352	0.204
	200	0.312	0.306	0.269	0.177
Ī	300	0.249	0.241	0.221	0.153
Ī	400	0.206	0.204	0.187	0.135

F	e e	ПК2	ПК1	HP1	HP2
5	0	0.418	0.411	0.354	0.198
10	00	0.312	0.306	0.265	0.158
20	00	0.209	0.205	0.187	0.132
30	00	0.153	0.149	0.141	0.109
40	00	0.122	0.119	0.115	0.093

3.1. Задача о течении в каверне. Рассматривается область в форме квадрата со сторонами единичной длины. На границах ставятся условия следующего вида:

$$u_x(t, x, 0) = u_y(t, x, 0) = 0$$
, $u_x(t, x, 1) = U_0$, $u_y(t, x, 1) = 0$, $x \in [0, 1]$, $u_x(t, 0, y) = u_y(t, 0, y) = u_x(t, 1, y) = u_y(t, 1, y) = 0$, $y \in [0, 1)$,

где $U_0 = 1$.

В начальный момент времени предполагается, что жидкость внутри области покоится. Численное решение при разных значениях Re, которое рассматривалось как эталонное, бралось из работы [26]. Для расчетов использовалась пространственная равномерная сетка из 200×200 узлов. На рис. 1 и 2 представлены графики компонент вектора скорости, получающиеся при Re = 100 и Re = 400 в сравнении с эталонным решением. Графики соответствуют моменту выхода решения на стационарный режим, после которого осуществлялся останов процесса вычислений. Значения γ , подобранные для проведения расчетов, представлены в табл. 1.

Как можно видеть, значения γ для случаев схем ПК1 и ПК2 больше, чем для случаев других схем. Причем схема с единой аппроксимацией (ПК2) позволяет проводить расчеты с большим шагом по времени, что говорит о ее экономичности и устойчивости.

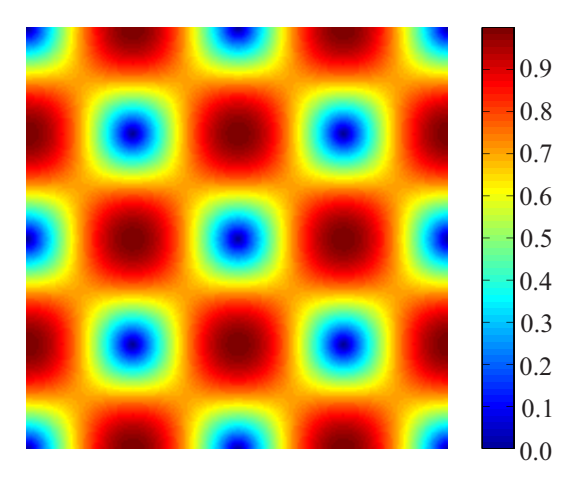


Рис. 4. График модуля вектора скорости для задачи о вихрях Тейлора при ${
m Re}=100$

3.2. Задача о вихрях Тейлора. Рассматривается область в форме квадрата со стороной длины 2π . На сторонах поставлены граничные условия следующего вида:

$$u_x(0, y, t) = U_0 e^{-2t/\operatorname{Re}} \sin(y), \quad u_x(2\pi, y, t) = -U_0 e^{-2t/\operatorname{Re}} \sin(y),$$

 $u_y(x, 0, t) = U_0 e^{-2t/\operatorname{Re}} \sin(x), \quad u_y(x, 2\pi, t) = -U_0 e^{-2t/\operatorname{Re}} \sin(x).$

В начальный момент времени плотность считается единичной, а компоненты вектора \boldsymbol{u} задаются следующим образом:

$$u_x(x, y, 0) = -U_0 \cos(x) \sin(y), \quad u_y(x, y, 0) = U_0 \sin(x) \cos(y).$$

Известно точное решение этой задачи [27]:

$$u_x(x, y, t) = -U_0 e^{-2t/\operatorname{Re}} \cos(x) \sin(y), \quad u_y(x, y, t) = -U_0 e^{-2t/\operatorname{Re}} \sin(x) \cos(y).$$

Расчеты проводились при единичном значении U_0 . Использовалась сетка из 200×200 узлов. На рис. 3 представлены графики компонент вектора \boldsymbol{u} в сравнении с аналитическим решением, на рис. 4 — график значений модуля вектора \boldsymbol{u} на плоскости (x,y). Графики соответствуют моменту времени t=2. В табл. 2 представлены значения параметра γ .

Относительно схем Π K1 и Π K2 можно сделать те же выводы, что и для случая задачи о течении в каверне.

4. Заключение. В настоящей статье построены конечно-разностные схемы типа предиктор–корректор для системы кинетических уравнений вида (1). Рассмотрены схемы с раздельной и единой аппроксимацией конвективных членов. При решении известных тестовых задач вычислительной гидродинамики показано, что схема с единой аппроксимацией позволяет производить расчеты с наибольшим значением шага по времени.

В дальнейшем планируется провести исследование устойчивости схем ПК1 и ПК2 в пространстве параметров по аналогии с работами [21–23].

СПИСОК ЛИТЕРАТУРЫ

- 1. Chen S., Doolen G.D. Lattice Boltzmann method for fluid flows // Annual Review of Fluid Mechanics. 1998. 30. 329–364.
- Wolf-Gladrow D.A. Lattice-gas cellular automata and lattice Boltzmann models: an introduction. Berlin: Springer-Verlag, 2005.
- 3. *Грачев Н.Е., Дмитриев А.В., Сенин Д.С.* Моделирование динамики газа при помощи решеточного метода Больцмана // Вычислительные методы и программирование. 2011. **12**. 227–231.
- 4. *Евстигнеев Н.М., Магницкий Н.А.* Нелинейная динамика в начально-краевой задаче течения жидкости с уступа для гидродинамического приближения уравнений Больцмана // Дифференциальные уравнения. 2010. **46**, № 12. 1794–1798.
- 5. *Кривовичев Г.В.* О расчете течений вязкой жидкости методом решеточных уравнений Больцмана // Компьютерные исследования и моделирование. 2013. 5, № 2. 165–178.
- 6. *Кривовичев Г.В.* Модифицированный вариант метода решеточных уравнений Больцмана для расчета течений вязкой несжимаемой жидкости // Компьютерные исследования и моделирование. 2014. **6**, № 3. 365–381.
- 7. Nourgaliev R.R., Dinh T.N., Theofanous T.G., Joseph D. The lattice Boltzmann equation method: theoretical interpretation, numerics and implications // International Journal of Multiphase Flow. 2003. 29, N 1. 117–169.
- 8. Kynepumox A.Л. Трехмерное моделирование двухфазных систем типа жидкость—пар методом решеточных уравнений Больцмана на GPU // Вычислительные методы и программирование. 2012. 13. 130–138.
- 9. $\mathit{Kynepumox}\ A.\mathit{J}.$ Трехмерное моделирование методом LBE на гибридных GPU-кластерах распада бинарной смеси жидкого диэлектрика с растворенным газом на систему парогазовых каналов // Вычислительные методы и программирование. 2012. 13. 384–390.
- 10. *Куперштох А.Л.*, *Медвеведев Д.А.*, *Грибанов И.И.* Моделирование тепломассопереноса в среде с фазовыми переходами методом решеточных уравнений Больцмана // Вычислительные методы и программирование. 2014. **15**, вып. 2. 317–328.
- 11. Pan C., Luo L.-S., Miller C.T. An evaluation of lattice Boltzmann schemes for porous medium flow simulation // Computers & Fluids. 2006. **35**, N 8-9. 898–909.
- 12. Zhao Z., Huang P., Li Y., Li J. A lattice Boltzmann method for viscous free surface waves in two dimensions // International Journal for Numerical Methods in Fluids. 2013. 71, N 2. 223–248.
- 13. Feichtinger C., Habich J., Köstler H., Hager G., Rüde U., Wellein G. A flexible patch-based lattice Boltzmann parallelization approach for heterogeneous GPU-CPU clusters // Parallel Computing. 2011. 37, N 9. 536–549.
- 14. $Hasert\ M.$, $Masilamani\ K.$, $Zimny\ S.$, $Klimach\ H.$, $Qi\ J.$, $Bernsdorf\ J.$, $Roller\ S.$ Complex fluid simulations with the parallel tree-based lattice Boltzmann solver $Musubi\ //$ Journal of Computational Science. 2014. 5, N 5. 784–794.
- 15. Бикулов Д.А., Сенин Д.С., Демин Д.С., Дмитриев А.В., Грачев Н.Е. Реализация метода решеточных уравнений Больцмана для расчетов на GPU-кластере // Вычислительные методы и программирование. 2012. **13**. 13–19.
- 16. *Бикулов Д.А.*, *Сенин Д.С.* Реализация метода решеточных уравнений Больцмана без хранимых значений функций распределения для GPU // Вычислительные методы и программирование. 2013. **14**. 370–374.
- 17. Banari A., Jansen C., Grilli S.T., Krafczyk M. Efficient GPGPU implementation of a lattice Boltzmann model for multiphase flows with high density ratios // Computers & Fluids. 2014. 93. 1–17.
- 18. Seta T., Takahashi R. Numerical stability analysis of FDLBM // Journal of Statistical Physics. 2002. 7, N 1/2. 557–572.

- 19. Sofonea V., Sekerka R.F. Viscosity of finite difference lattice Boltzmann models // Journal of Computational Physics. 2003. **184**, N 2. 422–434.
- 20. Tsutahara M. The finite-difference lattice Boltzmann method and its application in computational aero-acoustics // Fluid Dynamics Research. 2012. 44, N 4. 045507–045525.
- 21. *Кривовичев Г.В.* Исследование устойчивости явных конечно-разностных решеточных кинетических схем Больцмана // Вычислительные методы и программирование. 2012. **13**. 332–340.
- 22. Кривовичев Г.В. Об устойчивости конечно-разностных решеточных схем Больцмана // Вычислительные методы и программирование. 2013. 14. 1–8.
- 23. Кривовичев $\Gamma.В.$, Muxeeв C.A. Исследование устойчивости трехслойных конечно-разностных решеточных схем Больцмана // Вычислительные методы и программирование. 2014. **15**, вып. 2. 211–221.
- 24. Bhatnagar P.L., Gross E.P., Krook M. A model for collision processes in gases. I. Small amplitude processes in charged and neutral one-component systems // Physical Review. 1954. 94, N 3. 511–525.
- 25. Zou Q., He X. On pressure and velocity boundary conditions for the lattice Boltzmann BGK model // Physics of Fluids. 1997. 9, N 6. 1591–1598.
- 26. Ghia U., Ghia K.N., Shin C.T. High–Re solutions for incompressible flow using the Navier–Stokes equations and a multigrid method // J. of Computational Physics. 1982. 48, N 3. 387–411.
- 27. Taylor G.J. On the decay of vortices in a viscous fluid // Philosophical Magazine. 1923. 46. 671-674.

Поступила в редакцию 20.11.2014

Application of Predictor–Corrector Finite-Difference-Based Schemes in the Lattice Boltzmann Method

G. V. Krivovichev¹ and E. V. Voskoboinikova²

Received November 20, 2014

Abstract: Predictor–corrector finite-difference-based lattice Boltzmann schemes are proposed. An approach with separate approximation of spatial derivatives in the convective terms of kinetic equations and an approach when these terms are replaced by a single finite difference are considered. Explicit finite-difference schemes are used at both the stages of the computation process. The cavity flow problem and the Taylor vortex problem are solved numerically in a wide range of the Reynolds number. It is shown that the proposed schemes allow a larger time step compared to other known schemes.

Keywords: lattice Boltzmann method, kinetic equations, predictor–corrector, cavity flow problem, Taylor vortices.

References

- 1. S. Chen and G. D. Doolen, "Lattice Boltzmann Method for Fluid Flows," Annu. Rev. Fluid Mech. 30, 329–364 (1998).
- 2. D. A. Wolf-Gladrow, Lattice-Gas Cellular Automata and Lattice Boltzmann Models: An Introduction (Springer, Berlin, 2005).
- 3. N. E. Grachev, A. V. Dmitriev, and D. S. Senin, "Simulation of Gas Dynamics with the Lattice Boltzmann Method," Vychisl. Metody Programm. **12**, 227–231 (2011).
- 4. N. M. Evstigneev and N. A. Magnitskii, "Nonlinear Dynamics in the Initial-Boundary Value Problem on the Fluid Flow from a Ledge for the Hydrodynamic Approximation to the Boltzmann Equations," Differ. Uravn. **46** (12), 1794–1798 (2010) [Differ. Equ. **46** (12), 1794–1798 (2010)].
- 5. G. V. Krivovichev, "On the Computation of Viscous Fluid Flows by the Lattice Boltzmann Method," Kompyut. Issled. Model. 5 (2), 165–178 (2013).
- 6. G. V. Krivovichev, "Modification of the Lattice Boltzmann Method for the Computations of Viscid Incompressible Fluid Flows," Kompyut. Issled. Model. 6 (3), 365–381 (2014).

¹ Saint Petersburg State University, Faculty of Applied Mathematics and Control Processes; prospekt Universitetskii 35, Saint Petersburg, 198504, Russia; Ph.D., Associate Professor, e-mail: gera1983k@bk.ru

² Saint Petersburg State University, Faculty of Applied Mathematics and Control Processes; prospekt Universitetskii 35, Saint Petersburg, 198504, Russia; Student, e-mail: elen.voskoboinikova@gmail.com

- 7. R. R. Nourgaliev, T. N. Dinh, T. G. Theofanous, and D. Joseph, "The Lattice Boltzmann Equation Method: Theoretical Interpretation, Numerics and Implications," Int. J. Multiphase Flow **29** (1), 117–169 (2003).
- 8. A. L. Kupershtokh, "Three-Dimensional Simulations of Two-Phase Liquid-Vapor Systems on GPU Using the Lattice Boltzmann Method," Vychisl. Metody Programm. 13, 130–138 (2012).
- 9. A. L. Kupershtokh, "Three-Dimensional LBE Simulations on Hybrid GPU-Clusters for the Decay of a Binary Mixture of Liquid Dielectrics with a Solute Gas to a System of Gas-Vapor Channels," Vychisl. Metody Programm. 13, 384–390 (2012).
- 10. A. L. Kupershtokh, D. A. Medvedev, and I. I. Gribanov, "Modeling of Thermal Flows in a Medium with Phase Transitions Using the Lattice Boltzmann Method," Vychisl. Metody Programm. **15** (2), 317–328 (2014).
- 11. C. Pan, L.-S. Luo, and C. T. Miller, "An Evaluation of Lattice Boltzmann Schemes for Porous Medium Flow Simulation," Comput. Fluids **35** (8/9), 898–909 (2006).
- 12. Z. Zhao, P. Huang, Y. Li, and J. Li, "A Lattice Boltzmann Method for Viscous Free Surface Waves in Two Dimensions," Int. J. Numer. Meth. Fluids **71** (2), 223–248 (2013).
- 13. C. Feichtinger, J. Habich, H. Köstler, et al., "A Flexible Patch-Based Lattice Boltzmann Parallelization Approach for Heterogeneous GPU-CPU Clusters," Parallel Comput. **37** (9), 536–549 (2011).
- 14. M. Hasert, K. Masilamani, S. Zimny, et al., "Complex Fluid Simulations with the Parallel Tree-Based Lattice Boltzmann Solver *Musubi*," J. Comput. Sci. **5** (5), 784–794 (2014).
- 15. D. A. Bikulov, D. S. Senin, D. S. Demin, et al., "Implementation of the Lattice Boltzmann Method on GPU Clusters," Vychisl. Metody Programm. 13, 13–19 (2012).
- 16. D. A. Bikulov and D. S. Senin, "Implementation of the Lattice Boltzmann Method without Stored Distribution Functions on GPU," Vychisl. Metody Programm. 14, 370–374 (2013).
- 17. A. Banari, C. Jansen, S. T. Grilli, and M. Krafczyk, "Efficient GPGPU Implementation of a Lattice Boltzmann Model for Multiphase Flows with High Density Ratios," Comput. Fluids **93**, 1–17 (2014).
- 18. T. Seta and R. Takahashi, "Numerical Stability Analysis of FDLBM," J. Stat. Phys. **107** (1/2), 557–572 (2002).
- 19. V. Sofonea and R. F. Sekerka, "Viscosity of Finite Difference Lattice Boltzmann Models," J. Comput. Phys. **184** (2), 422–434 (2003).
- 20. M. Tsutahara, "The Finite-Difference Lattice Boltzmann Method and Its Application in Computational Aeroacoustics," Fluid Dyn. Res. 44 (4), 045507–045525 (2012).
- 21. G. V. Krivovichev, "Investigation of the Stability of Explicit Finite Difference-Based Lattice Boltzmann Schemes," Vychisl. Metody Programm. 13, 332–340 (2012).
- 22. G. V. Krivovichev, "Stability of Finite-Difference-Based Lattice Boltzmann Schemes," Vychisl. Metody Programm. 14, 1–8 (2013).
- 23. G. V. Krivovichev and S. A. Mikheev, "Stability of Three-Layer Finite Difference-Based Lattice Boltzmann Schemes," Vychisl. Metody Programm. 15 (2), 211–221 (2014).
- 24. P. L. Bhatnagar, E. P. Gross, and M. Krook, "A Model for Collision Processes in Gases. I. Small Amplitude Processes in Charged and Neutral One-Component Systems," Phys. Rev. **94** (3), 511–525 (1954).
- 25. Q. Zou and X. He, "On Pressure and Velocity Boundary Conditions for the Lattice Boltzmann BGK Model," Phys. Fluids **9** (6), 1591–1598 (1997).
- 26. U. Ghia, K. N. Ghia, and C. T. Shin, "High-Re Solutions for Incompressible Flow Using the Navier–Stokes Equations and a Multigrid Method," J. Comput. Phys. 48 (3), 387–411 (1982).
 - 27. G. J. Taylor, "On the Decay of Vortices in a Viscous Fluid," Phil. Mag. 46, 671-674 (1923).